

استخدام شبكة الارتباط الذاتي الغير خطى العصبية في تقدير التبخر اليومي: ومقارنتها مع شبكات عصبية بخوارزميات مختلفة

شهلة عبدالوهاب عبدالقادر ، نجم عبدالله عبدالقادر ، كفاء هادي نnoon

قسم أنظمة الحاسوب ، المعهد التقني ، الموصل ، العراق

الملخص:

تم في هذا البحث تطبيق انموذج الشبكة العصبية الديناميكية اللاخطية Nonlinear Autoregressive Dynamic NN المتمثلة بشبكة (NARX) لتقدير التبخراليومي لمدينة الموصل بدلاً بعض المعلومات المناخية (درجة الحرارة العظمى والصغرى، الامطار، الرطوبة النسبية، سرعة الرياح و الاشعاع الشمسي) لاي يوم من السنة ومقارنتها مع الشبكات العصبية الساكنة Static NN: مثل شبكة الانتشار العكسي للخط Cascade-Forward Back Propagation(FFBPNN) ، وشبكة التتابع (شبكة انشار عكسي بروابط اضافية) Feed Forward Back Propagation(CFBPNN) ، ولكل شبكة معمارتين : معمارية بـ(4) طبقات و (5) خلايا في الطبقات الخفية، ومعمارية بـ (5) طبقات و (5) خلايا في الطبقات الخفية.

تم استخدام خوارزميات مختلفة للتربیب كخوارزمية ليفن بيرك مارکوپت (LM)، خوارزمية نيوتن (BFGS)، خوارزمية الميل الصرفية (CFG) ، خوارزمية الانحدار الترجي (GD) و خوارزمية الانحدار الترجي المعدل (GDM). استخدمت البيانات الماخوذة من محطة الانواء الجوية في منطقة الرشيدية / محافظة نينوى للفترة من (1995-2008) حيث استخدمت بيانات (10) اعوام لتطوير النماذج وللفترة من (2004-2005)، كما استخدمت مقاييس معامل التحديد R² determination coefficient R_square (Root Mean Square Error RMSE) في الحكم على مدى تطابق البيانات المقاسة ومخرجات الشبكات العصبية لاختيار افضل نموذج تتبعه من بين النماذج المطبقة، بينما النتائج ان شبكة NARX وبخوارزمية (LM) ذات كفاءة في تحسين نموذج تتبعه لتقدير التبخر اليومي حيث وصلت قيمة معامل التحديد الى (0.99) وهي افضل واسرع خوارزمية اذا ما توفرت درجات حرارة الامطار، الرطوبة النسبية، سرعة الرياح والاشعاع الشمسي لاي يوم من ايام السنة.

الكلمات المفتاحية : الشبكات الساكنة، الشبكات الديناميكية، الانحدار الترجي، الميل الصرفية ، خوارزمية نيوتن، خوارزمية ليفن بيرك مارکوپت.

1- المقدمة

تشكل عملية التبخر احدى المركبات المهمة للدورة الهيدرولوجية للمياه في الطبيعة وعلى هذا الاساس اهتم الكثير من الباحثين في دراسة هذه العملية وذلك بتخمينها بطائق مختلفة منها استخدام الأحوالات ومعاملات الأنواء الجوية وهي الأكثر شيوعاً، وأخرى تجريبية التي معظمها تم استنتاجها بالطائق الإحصائية التقليدية، حيث إن معاملاتها الثابتة لمناطق محددة تجعل تطبيقها على مناطق أخرى مصحوباً بالخطأ بالإضافة إلى عدم إمكانية استخدامها لتقدير التبخر اليومي [9][8]، وكان التوجه إلى استخدام الشبكات العصبية الاصطناعية لتقدير التبخر اليومي لأي منطقة وبدقة عالية إذا ما توفرت المعلومات المناخية من درجات الحرارة، الرطوبة، السطوع الشمسي، الامطار وسرعة الرياح [10].

التجارب في السنوات الأخيرة اثبتت كفاءة الشبكات العصبية الاصطناعية في بناء النماذج لتقدير التبخر للحصول على قياسات متوقعة ذات دقة عالية مع القياسات الحقيقة ، فقد استخدم الباحثون [9] درجات الحرارة ، الرطوبة، سرعة الرياح والسطوع الشمسي لقياس التبخر باستخدام شبكة التغذية الامامية (FFBPNN) (ويمعارات مختلفة ووصل الى معامل تحديد مساواه 0.72 ، ومربيع خطأ مساواه 0.07، أما الباحثون [11] فقد استخدمو شبكة البيرسبيرون

في العقود القليلة الأخيرة طورت العديد من نماذج التنبؤ اللاخطية مثل أنظمة الذكاء الاصطناعي ، الذي يمكن ان يلائم البيانات وبشكل أفضل من النماذج الخطية التي غالباً ما يكون التنبؤ بها ضعيف . أنظمة الذكاء الاصطناعي ذات تقنيات واسعة وتتوفر طرق بديلة لمعالجة المشاكل المعقّدة وهو قادر على معالجة البيانات غير المتكاملة والتي تحتوي على ضوضاء وكذلك حل المشاكل اللاخطية التربوية بسرعة عالية . استخدمت هذه التقنيات في تطبيقات متعددة مثل الإنسان الآلي، تمييز الأنماط، التنبؤ، الطب، الأنظمة الكهربائية، التصنيع، الامثلية ومعالجة الإشارة [2][1].

أن أنظمة الذكاء الاصطناعي تشمل الأنظمة الخيرية، الشبكات العصبية الاصطناعية [1] ، الخوارزميات الجينية، المنطق المضباب ، وأنظمة هجينية أخرى تجمع بين واحد او أكثر من التقنيات أعلاه [2]. الشبكات العصبية الاصطناعية(ANN) تعتبر من أنظمة الذكاء الاصطناعي، التي تعالج بيانات هائلة بشكل متوازي لتدريبها، كسابها معرفة ملائمة لغرض التطبيق، والفائدة الأكبر قدرة الشبكات العصبية على تشكيل العلاقات اللاخطية المعقّدة بدون فرضيات استنتاجيه عن طبيعة العلاقة [7][6][5][4][3].

والمنطق المضبب لتقدير التبخر اليومي وتوصلو الى معامل تحديد لم يتجاوز 0.97 .

الهدف من هذا البحث هو بناء نماذج من الشبكات العصبية المختلفة بخوارزميات متعددة لتقدير التبخر اليومي لمدينة الموصل بدلاًة بعض المعلومات المناخية سهلة القياس. ما تبقى من البحث كما يلي: القسم الثاني يتضمن تفاصيل الطريقة المستخدمة في البحث. القسم الثالث يشرح المواد ومنهجية البحث المقترنة. القسم الرابع النتائج ومناقشتها . القسم الخامس الاستنتاجات.

2- الشبكات العصبية

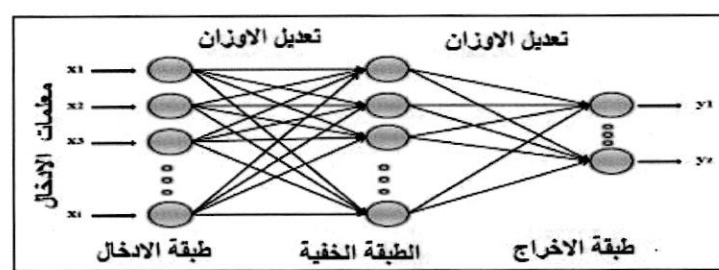
الشبكات العصبية تمتلك فائدة رئيسية هي قابليتها اللاخطية المرنة لصياغة النماذج وليس هناك حاجة لتحديد نموذج قياسي ثابت، بالاخرى النموذج يتکيف حسب ميزات البيانات. قادت هذه النظرية الى صياغة العديد من البحوث التجريبية وبناء النماذج لمعالجة البيانات بانواع أكثر شيوعاً من الشبكات العصبية مثل الشبكات الساكنة SNN ، والشبكات الديناميكية DNN [20].

2-1 الشبكات العصبية الساكنة

الشبكات العصبية الساكنة SNN ذات التغذية الامامية هي نوع من الشبكات التي لا تحتوي على روابط رجوع بصورة عكسية ولا تحتوي على عناصر تاخير Delay، الاخراج يحسب مباشرة من الادخال باتجاه تغذية امامية من خلال روابط الشبكة منها شبكة الانشار العكسي او ما تسمى الشبكة ذات التغذية الامامية (FFBPNN) يوضحها الشكل رقم (1)، وشبكة التابع (CFBPNN) يوضحها الشكل رقم (2). شبكة الانشار العكسي استعملت على نحو واسع في الكثير من المجالات، وتمرور الوقت استعملت في السلسل الزمنية التنبؤية لانها قادرة على حل انواع عديدة ومختلفة من المشاكل. شبكة الانشار العكسي بتغذية امامية (FFBPNN) مكونة عادة من عدة طبقات : طبقة الادخال، طبقة الخفية وواحدة او اكثر من الطبقات الخفية كما موضح في الشكل رقم (1). اما شبكة التابع (CFBPNN) فانها شبكة ذات انتشار عكسي بروابط اضافية من المدخلات باتجاه الطبقات الخفية وطبقات الاخراج لتسرع عملية التدريب يوضحها الشكل رقم (2) [21].

المتعددة الطبقات (MLP) بخوارزمية MultiLayers Perceptron (MLP) للتغذية العكسيه (BP) لتقدير التبخر باستخدام درجات الحرارة العظمى والصغرى والاشعاع الشمسي وتوصلو الى معامل تحديد لم يتجاوز 0.91 ، في حين قام الباحثين [12] باستخدام الشبكة العصبية ذات التغذية العكسيه(BBNN) لتقدير التبخر اليومي من خلال بعض المعلومات المناخية من درجات حرارة العظمى والصغرى، وقام الباحثون [13] باستخدام شبكة البيرسبرتون (MLP) لتقدير التبخر اليومي باستخدام عدة معاملات من درجة حرارة الهواء، سرعة الرياح، كمية الامطار والاشعاع الشمسي وتوصلوا الى معامل التحديد 0.95. اما الباحثون [14] قاما باستخدام الشبكات العصبية الاصطناعية لتقدير التبخر اليومي لمدينة لوس انجلوس وتوصلو الى معامل تحديد 0.95. ووصل الباحث [15] الى معامل تحديد مساو لـ 0.96 من خلال استخدام شبكة التغذية الامامية (FFBPNN) لتقدير التبخر الشهري لبعض المعلومات المناخية. اما الباحثين [16] فقداستخدموا شبكة البيرسبرتون المتعددة الطبقات (MLP) بخوارزمية الانشار العكسي للخطأ (BP) وشبكة التابع (CCBPNN) بخوارزمية كالمن لتقدير التبخر في اليونان باستخدام درجات الحرارة العظمى والصغرى واظهرت النتائج ان شبكة التابع (CCBPNN) افضل من شبكة التغذية الامامية (FFBPNN) حيث توصلو الى معامل تحديد مساو لـ 0.95. اما الباحثون

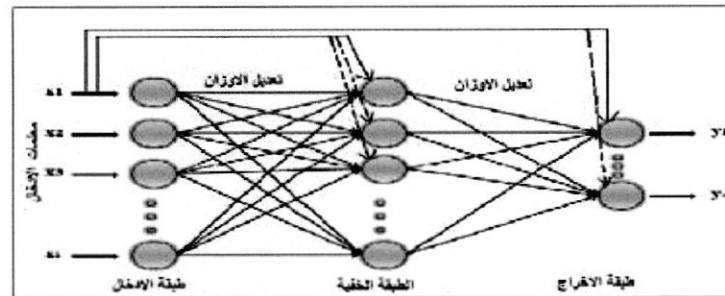
[1] قاما باستخدام شبكة الانشار العكسي بخوارزميات مختلفة لتقدير التبخر اليومي لمدينة الموصل/شمال العراق باعتماد معلومات مناخية يومية لمدة (21) سنة مؤثرة على التباخرن درجات حرارة، الاشعاع الشمسي، سرعة الرياح والرطوبة النسبيه وتوصلوا الى معامل تحديد 0.95. في حين قام الباحث [2] بمقارنة الشبكات العصبية الاصطناعية مع نظام الاستدلال المضبب (Fuzzy Logic) لتقدير التبخر اليومي لمدينة الموصل باعتماد معلومات مناخية لمدة (21) سنة من درجات حرارة، الاشعاع الشمسي، سرعة الرياح والرطوبة النسبيه ووصل الى معامل تحديد 0.91. وقام الباحثون [17][18][19][20] باستخدام انواع مختلفة من الشبكات العصبية لتقدير التبخر ولم يتجاوز معامل التحديد في تقديراتهم لـ 0.97 ، لكن الباحثين [8][4] قاما باستخدام نظام هجين من الشبكات العصبية



الشكل رقم (1): شبكة الانشار العكسي المثالى

وطبقة الارخاج بدالة خطية (Purline AF). شبكة الانتشار العكسي تمر بمرحلتين : مرحلة التغذية الامامية التي تدخل فيها انماط التدريب (بيانات) الى الشبكة وترسل خلال الطبقات المتعاقبة وصولاً الى الارخاج، ومرحلة التدريب او ما تسمى (التعليم) تعدل من خلالها الاوزان او الباراميترات بشكل تكراري لكل انماط التدريب(ادخل - اخرج) على اساس تقليل الاخطاء بين مخرجات الشبكة والمخرجات الحقيقة بانحدار تدريجي للأخطاء (Gradient Descent(GD) أو ماتسمى نشر الأخطاء العكسي بواسطة خوارزمية التدريب [5][21].

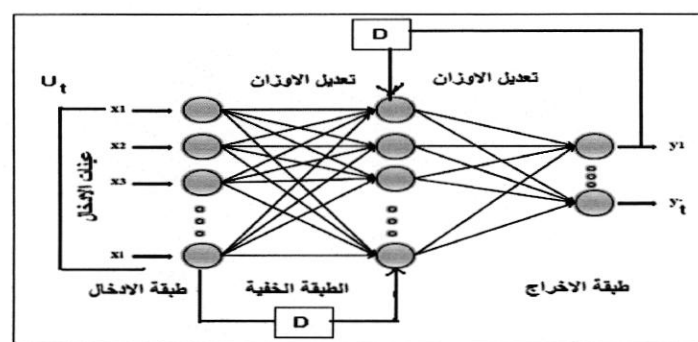
المدخلات في الشبكة لها وزن (w)، تجمع المدخلات الموزونة مع الانحياز (b)، بعدها تطبق دالة التشيط (AF) Activation Function يمكن ان تستعمل انواع من دوال التشيط لتوليد الارخاج وبشكل عام دوال التشيط اللاخطية تعتبر ملائمة ل اكثر التطبيقات مثل الدالة اللوغاريتمية (logsigmoid) والدالة الظلية (Tansigmoid) والشبكات ذات التغذية الامامية التي تمتلك طبقة (طبقات) خفية في اغلب الاحيان تكون طبقاتها الخفية بدالة لاخطية (Sigmoid AF).



الشكل رقم (2): شبكة CFBPNN

الشبكات الديناميكية تدرب بنفس الخوارزمية BP المستخدمة في الشبكات الساكنة، الا أن أداؤها مختلف تماماً من خلال الانحدار التدريجي للخطأ الذي يكون على نحو أكثر تعقيداً. والاوزان في هذا النوع من الشبكات لها تأثيران مختلفان على ناتج التدريب: الأول تأثير مباشر للأوزان والذي يسبب تغير فوري في الناتج للخطوة الحالية (هذا الناتج يحسب باستخدام BP القياسية). التأثير الثاني غير مباشر وذلك من خلال بعض الادخالات مثل $D(t-1)$ التي تؤثر في حساب الاوزان بصورة غير مباشرة باستعمال خوارزمية BP الديناميكية لحساب الانحدار التدريجي للخطأ وصولاً إلى الحدود الدنيا المحلية للخطأ (Local Minim error)، لذلك سطوح الاخطاء الديناميكية تكون أكثر تعقيداً وتحتاج الى وقت أطول للتدريب للحصول على المطابقة للارخاج [21][23][24].

2-2 الشبكات العصبية الديناميكية:
الشبكات العصبية الديناميكية DNN هي نوع من الشبكات التي لا تعتمد فقط على الإدخال الحالي للشبكة بل تعتمد على الإدخالات أو الارخاجات السابقة أو اي حالات اخرى للشبكة. وبصورة عامة الشبكات الديناميكية أقوى من الشبكات الساكنة (على الرغم من صعوبتها في التدريب) وذلك لأنها تمتلك ذاكرة تستطيع من خلالها أن تدرب الانماط التسلسليه أو انماط الوقت، شبكة (NARX) هي نوع من الشبكات الديناميكية بارتباطات عكسية وممكن ان تحتوي على عدة طبقات خفية في هيكليتها وهي تعتمد بالاساس على نموذج الارتباط الذاتي الاحصائي (Auto Regressive ARX) الذي يستخدم في السلسل الزمنية حيث أن القيمة التالية تستخرج من الارخاج الحقيقي بدل من الرجوع العكسي للارخاج المحسوب وكما موضح في الشكل رقم (3)، أي أن الارخاج $y(t)$ يدخل في الحسابات الجديدة لقيمة التالية التي تعتبر ادخال للشبكة [21][4].



الشكل رقم (3): شبكة NARX

3- خوارزميات التدريب

$$\beta_k = \frac{g_k^T g_k}{g_{k-1}^T g_{k-1}} \dots \dots \dots (5)$$

• خوارزمية نيوتن (BFGS)

طريقة نيوتن غالباً ما تكون أسرع من GD ولكن حساباتها مكلفة للغاية نظراً لحسابات واسعة لمصفوفة (Hessian) الآتية من المشتقات الثانية (second derivatives) الأسلوب الأكثر نجاحاً في الدراسات هو خوارزمية BFGS المحدثة والتي تتغير الأوزان بها حسب المعادلة (6) : [21][22]

$$W_{k+1} = W_k - H^{-1} k g_k \dots \dots \dots (6)$$

حيث ان :

Hessian matrix (second derivatives) : H_k

• خوارزمية ليفن بيرك ماركوت (LM)

مشابهة لطريقة نيوتن ، لكنه صمم على نهج سرعة التدريب بدون الحاجة لحساب مصفوفة Hessian في ظل فرضية أن دالة الخطأ هي مجموع المربعات، وأن مصفوفة Hessian تكون بصورة تقريبية بالطريقة : $J^T H = J^T e$ ، ويمكن حساب الميل على النحو الآتي $e = J^T g$ حيث أن J هي مصفوفة (Jacobian) التي تحتوي على الأخطاء التي تتعلق بأوزان الشبكة ، مصفوفة Jacobian هي أقل حساب وكلفة من مصفوفة Hessian ، e هي متوجه الأخطاء للشبكة لذا الأوزان في الخوارزمية تتعدل حسب المعادلة (7) :

$$W_{k+1} = W_k - [JJ^T + \mu I]^{-1} J^T e \dots \dots \dots (7)$$

حيث ان : μ هو ثابت للسيطرة على سلوك الخوارزمية ، فعندما $\mu = 0$ تُتبع الخوارزمية طريقة نيوتن وتستعمل مصفوفة Hessian ، لكن عندما μ ذات مستوى عالي يصبح هبوط الميل عالي لحجم خطوات صغير [21][22].

3- مواد البحث وطرائقه

تم استخدام البيانات الماخوذة من محطة الانواء الجوية في منطقة الرئيسية / محافظة نينوى للفترة من 1995-2008 وحسب الجدول رقم

(1) درجة الحرارة العظمى والصغرى . المطر . الرأيـة النسـبية سـرعة الـريـاح والـاشـعـاع الشـمـسيـ) لـاـيـ يومـ منـ السـنـةـ، تمـ بنـاءـ النـماـذـجـ باـسـتـخـدـامـ خـمـسـ خـواـرـزـمـيـاتـ لـتـدـريـبـ الشـبـكـاتـ، قـسـمـتـ الـبـيـانـاتـ المـسـتـخـدـمـةـ إـلـىـ مـجـمـوعـتـيـنـ، مـجـمـوعـةـ التـدـريـبـ وـكـانـتـ بـنـسـبـةـ 70%ـ مـنـ الـبـيـانـاتـ، وـمـجـمـوعـةـ الـاخـتـارـ بـنـسـبـةـ 30%ـ مـنـ الـبـيـانـاتـ، وـقـيـاسـ أـدـاءـ النـماـذـجـ تمـ اـسـتـخـدـامـ معـاـمـلـ التـحـديـدـ R^2 ـ، جـذـرـ مـوـطـسـ مـرـبـعـ الـأـخـطـاءـ

.[3] RMSE

$$RMSE = \sqrt{\frac{\sum_{i=1}^n (O_i - T_i)^2}{n}} \dots \dots \dots (8)$$

واستخدمت هذه المعايير في مقارنة البيانات الحقيقية المقاسة والمحسوبة من نماذج الشبكة العصبية ل الأربع سنوات كاملة بين

هذا البحث مستند على الخوارزميات التكرارية المختلفة لتعليم شبكة الانتشار العكسي حيث استخدمت خوارزمية الانحدار التدريجي (GD)، الانحدار التدريجي المعجل (GDM)، خوارزمية الميل (CFG)، خوارزمية ليفن بيرك ماركوت (LM) وكالاتي :-

• خوارزمية الانحدار التدريجي (GD) :

خوارزمية الانحدار التدريجي تسمح لأوزان الشبكة ان تتحرك على الجانب العكسي من دالة التشتيط، ودور الانتشار العكسي يعود الى الطريقة التي يتم بها حساب الميل لطبقات الشبكة المتعددة اللاخطية ويتم خلاله ضبط اوزان الشبكة والذي يحقق سرعة للخوارزمية، وتمثل الخوارزمية لتكرار واحد لتعديل الاوزان بالمعادلة (1) :

$$W_{k+1} = W_k - \alpha_k g_k \dots \dots \dots (1)$$

حيث ان : α_k : معدل التعلم g_k : الميل الحالي [21].

• خوارزمية الانحدار التدريجي المعجل (GDM) :

شبكة الانتشار العكسي تتطلب العديد من التكرار ، ولتخفيض هذه المشكلة يمكن ان تضاف معلمة تعجيل Momentum الى التدريب بواسطة جعل الوزن مساوي لمجموع جزء صغير من الوزن في الاوزان الاخيرة، ويكون تعديل الاوزان فيها حسب المعادلة (2) :

$$W_{k+1} = W_k - \alpha_k g_k + \mu(W_k - W_{k-1}) \dots \dots \dots (2)$$

حيث ان : μ التعجيل Momentum والذي تكون قيمته بين (0-1) [22].

• خوارزمية الميل الصرافية BP (CGF) :

خوارزمية BP القياسية تعديل الاوزان باتجاه هبوط حاد للميل الذي ليس بالضرورة ينتج عنه استقرارية للشبكة وهو حساس جداً لمعدل التعلم الذي قد يسبب عدم استقرارية للشبكة او تأخذ وقت طويل

للوصول الى الحل لذلك اسـتـخدـمـ مؤـذـراـ عـدـةـ خـواـرـزـمـيـاتـ لـحـاسـبـ المـيلـ

لتليم الشبكات العصبية بطريقة ينتج عنها تسريع الخوارزمية للوصول الى الحل . في خوارزمية الميل الصرافية التي اقترحت من Fletcher and Reeves ، تبدا بالبحث عن الهبوط الحاد في التكرار الاول [7] :

$$P_0 = -g_0$$

واتجاه البحث في كل تكرار يحدد بواسطة تغيير الاوزان بالمعادلة

-: (3)

$$W_{k+1} = W_k - \alpha_k g_k + \mu_k P_k \dots \dots \dots (3)$$

حيث ان :

$$P_k = -g_k + \beta_k P_{k-1} \dots \dots \dots (4)$$

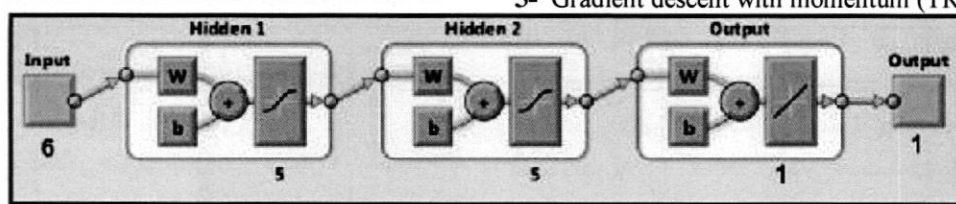
وان (Fletcher and Reeves) يغير الثابت β_k بالمعادلة التي هي نسبة تربع الميل الحالي على تربع الميل السابق وحسب المعادلة

: (5)

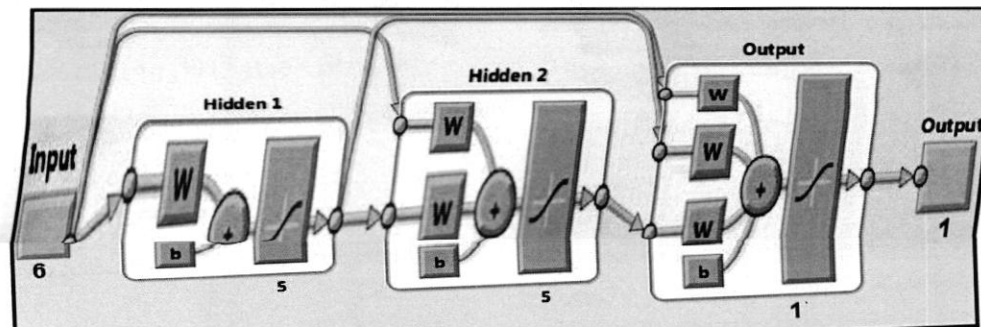
(2005-2008) وذلك لضمان انتباق النماذج لجميع المراحل السنوية وظروفها ، علماً بــان هذه البيانات لم تدخل في عملية بناء نماذج الشبكات العصبية. تم تصميم النماذج باستخدام (Matlab 2012) لتحديد نموذج الشبكة العصبية الاصطناعية الذي يعطي تقدير جيد للتباخر اليومي، وكانت هذه النماذج للشبكات الساكنة: شبكة FFBPNN، وشبكة CFBPNN، والشبكات الديناميكية: شبكة NARX وبعماريتن (1-5-5-6)، (1-5-5-6) والموضحة بالشكل رقم (4) لشبكة FFBPNN ، والشكل رقم (5) لشبكة CFBPNN ، والشكل رقم (6) لشبكة NARX ، وبالخوارزميات الآتية لكل معمارية:

- 1- Levenberg-Marquardt algorithm (TRAINLM)**
- 2- algorithm TRAINBFG**
- 3- TRAINCGF algorithm**
- 4- Gradient descent algorithm (TRAINGD)**
- 5- Gradient descent with momentum (TRAINGDM)**

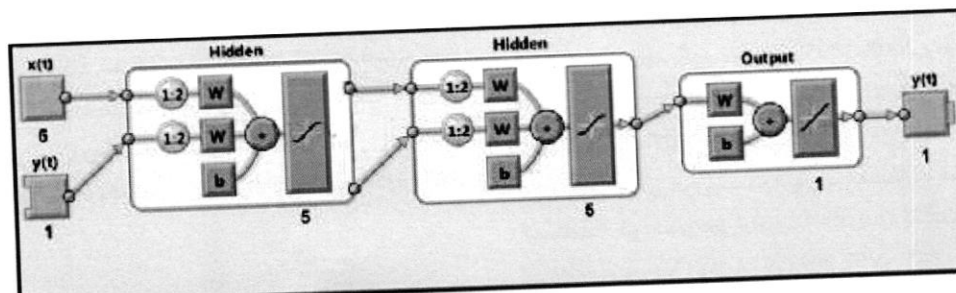
جدول رقم (1): البيانات الحقيقة المستخدمة لتقدير التبخر		
البيانات الحقيقة		
T _{Max}		درجة الحرارة العظمى
T _{Min}		درجة الحرارة الصغرى
W	Wind	سرعة الرياح
S	Sunshine	الاشعاع الشمسي
R	Rain	الامطار
Rh		الرطوبة النسبية
Ev	Evapotranspiration	التبخر



الشكل رقم (4): شبكة FFBPNN



الشكل رقم (5): شبكة CFBPNN



الشكل رقم (6): شبكة NARX

درجة الحرارة العظمى والصغرى، الامطار، الرطوبة النسبية والإشعاع الشمسي لوحده غير كافٍ لإعطاء تقديرات صحيحة وان نسبة الخطأ فيها كبير جداً، لكن عند بناء نماذج يوثّر بها كل العوامل أعطت

نتائج صحيحة كانت دقتها ملائمة من نموذج إلى آخر يوضحها الجدول رقم (2) الذي يبين فيه مقارنة مابين البيانات المقاسة والمحسوبة من استخدام نماذج الاختبار لاختيار أفضل نموذج منها.

- النتائج والمناقشة 4

شير النتائج التي تم الحصول عليها من تطبيق نماذج الشبكات العصبية على بيانات اربعية اعوام كاملة لم تدخل ضمن عملية بناء النماذج بإمكانية تقدير التبغ اليومي باستخدام بيانات الإدخال (درجة الحرارة العظمى والصغرى، الرطوبة النسبية، الامطار، سرعة الرياح والاشعاع الشمسي) والتبغ كإخراج، كما بينت النتائج ان استعمال

زيادة في دقة النتائج باستخدام خوارزمية (LM) لجميع نماذج الشبكات فقد تراوحت قيمة معامل التحديد بين (0.95-0.99) وانخفاض قيمة متوسط مربع الخطأ الذي تراوح بين (0.07-0.00005) . يلاحظ من النتائج ان خوارزمية التدريب لها تأثير واضح على دقة النتائج فمع بقاء عدد الخلايا الخفية بعدد (5) لكل نموذج من نماذج التدريب بمعمارية (6-5-5-1) كانت قيم معامل التحديد مقاومةً من نموذج الى اخر مع اختلاف خوارزميات التدريب حيث كان افضلها عند استخدام خوارزمية (LM) لنموذج شبكة NARX الذي وصل الى 0.981، لكن عند تغيير المعمارية بزيادة عدد الطبقات الخفية من (2) الى (3) طبقات خفية من خلال معمارية (6-5-5-1) فمع زيادة الحسابات وبطء التدريب لكل نموذج كان هناك دقة عالية في الحصول على النتائج أفضلها عند استخدام خوارزمية (LM) لنموذج شبكة (NARX) الذي وصل معامل التحديد فيها الى (0.99).

للحظ من النتائج ان معامل التحديد للنماذج الذي استخدم شبكة (FFBPNN) تراوح بين (0.91-0.95) وجذر متوسط مربع الاخطاء (CFBPNN) (0.08-0.22) ولكن خوارزميات التدريب، اما عند تغيير النماذج باستخدام شبكة (CFBPNN) ازداد معامل التحديد بحيث وصل الى 0.96 وانخفاض معه جذر متوسط مربع الاخطاء ووصل الى 0.01 عند استخدام خوارزمية (LM) ، وينفس الوقت حصلت زيادة في معامل التحديد لنماذج شبكة NARX الذي وصل الى 0.981 مع انخفاض ملحوظ لجذر متوسط مربع الخطأ وصل الى 0.0002 عند استخدام خوارزمية (LM) . ولغرض قياس كفاءة النماذج واختيار أفضل نموذج لتقدير التخمين تطبق النماذج بنفس الإدخالات السابقة و الإخراج لاي خوارزمية من الخوارزميات الخمسة و بمعمارية مختلفة من خلال زيادة عدد الطبقات الخفية (6-5-5-1) التي يوضحها الجدول رقم (3)، حيث لوحظ

جدول رقم (2):اداء النماذج بمعمارية (6-5-5-1)

النماذج				معامل التحديد R^2
NRAX	CFBP	FFBP	الخوارزميات	
0.981	0.96	0.95	LM	
0.96	0.923	0.91	BFGS	
0.975	0.925	0.92	CGF	
0.971	0.934	0.93	GD	
0.981	0.944	0.94	GDM	
0.0002	0.01	0.08	LM	
0.007	0.08	0.12	BFGS	
0.005	0.09	0.15	CGF	
0.002	0.07	0.22	GD	
0.001	0.05	0.19	GDM	

جدول رقم (3):اداء النماذج بمعمارية (6-5-5-1)

النماذج				معامل التحديد R^2
NARX	CFBP	FFBP	الخوارزميات	
0.99	0.967	0.955	LM	
0.97	0.938	0.92	BFGS	
0.978	0.937	0.93	CGF	
0.972	0.942	0.94	GD	
0.983	0.953	0.95	GDM	
0.00005	0.006	0.07	LM	
0.0005	0.05	0.11	BFGS	
0.0004	0.06	0.12	CGF	
0.0003	0.03	0.18	GD	
0.0002	0.01	0.16	GDM	

التدريبية بين (37-32) دورة تدريبية وذلك بسبب طبيعة الخوارزمية التي تبدا بالبحث عن الهبوط الحاد للليل من التكرار الاول للخوارزمية والذي يسرع التدريب، في حين تراوحت عدد الدورات التدريبية لخوارزمية نيوتن BFGS بين (30-27) دورة تدريبية فعلى الرغم من الحسابات الواسعة لمصفوفة (Hessian) الا انه كان هناك سرعة في التدريب لاستخدامها خوارزمية (BFGS) المحدثة والتي تغير الاوزان

وللحظ أيضاً ان الخوارزمية لها تأثير واضح في سرعة الحصول على النتائج فقد كانت خوارزمية GD ابطأ خوارزمية حيث تراوحت عدد الدورات التدريبية فيها بين (41-36) دورة يوضحها الجدول رقم (4) للنماذج في معمارية (6-5-1)، لكن عند استخدام خوارزمية GDM وبقيمة تعجيل فرضت (0.3) اقلت سرعة التدريب وتراوحت بين (35-39) دورة تدريبية، اما عند استخدام خوارزمية CGF تراوحت عدد الدورات

التنفيذ عند زيادة عدد الخلايا الى (7) خلايا في الطبقات الخفية ولكن النماذج الذي تراوح بين (26-42) دورة تدريبية في حين ان معامل التحديد لم يقل عن (0.99) لجميع النماذج ، يلاحظ من هذه النتائج انه كلما ازداد عدد الطبقات وعدد الخلايا بين الطبقات ازدادت دقة النتائج مع تقليل الاخطاء الى اقل ما يمكن على حساب زيادة الوقت لتعليم النماذج، هذه الدقة سوف تؤدي الى تجاوز عددها لاز ان الداخلة في هيكلية كل نموذج عن عدد نماذج بيانات التدريب والتي من المفترض ان تكون عدد هذه الاوزان اقل او مساوية لعدد بيانات التدريب في حين انه يمكن الحصول على هذه الدقة بعدد مناسب للخلايا وعدد طبقات خفية لا يتجاوز (3) طبقات ولا تتجاوز عدد الاوزان عن بيانات التدريب.

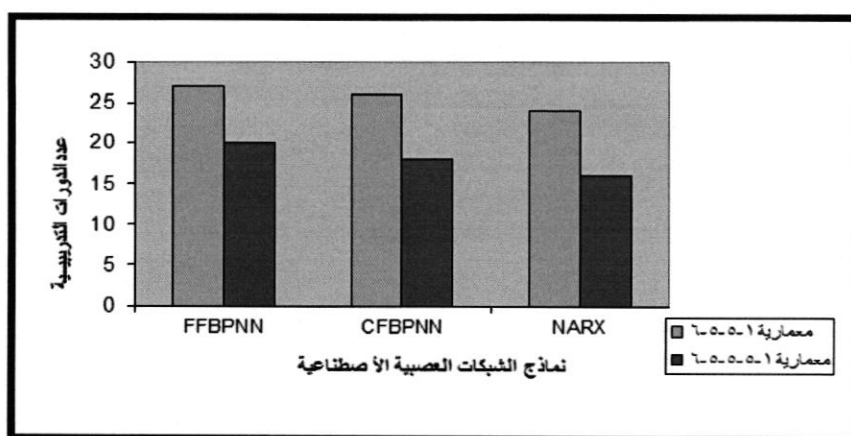
لذلك يمكن الاستنتاج من النتائج أن شبكة NARX(6-5-5-1) أفضل وأسرع خوارزمية بمعامل تحديد (0.99) وسرعة لم تتجاوز (16) دورة تدريبية لتقدير التبخر اليومي اذا ما توفرت العوامل المناخية من درجة الحرارة العظمى والصغرى ، الامطار، الرطوبة النسبية، سرعة الرياح والاشعاع الشمسي والموضحة نتائجها في الشكل رقم (8) .

حسب المعادلة (6) لاسرع التدريب، أما خوارزمية LM كانت أسرع خوارزمية تدريبية فقد تراوحت عملية التدريب فيها بين(24-27) دورة تدريبية هذه السرعة جاءت من خلال دخول مصفوفة (Jacobian) في حساب الأوزان التي هي اقل كلفة من مصفوفة (Hessian) والتي تسرع التدريب.

لكن عند ازيداد عدد الطبقات الخفية من خلال معمارية (6-5-5-1) وزيادة الحسابات وبطئ التنفيذ لاستقرارية كل نموذج لوحظ أن هناك تسريع لكل نماذج الاختبار وكان أسرعها باستخدام خوارزمية (LM) فقد تراوحت عملية التدريب فيها بين (16-20) دورة تدريبية لكل الشبكات يوضحها الشكل رقم (7). ولغرض اختيار افضل نموذج تتبعي من بين نماذج الاختبار، تم تطبيق (8) نماذج بنفس الادخلات السابقة والاخرج الشبكة NARX وخوارزمية (LM) وبمعماريات مختلفة من خلال زيادة عدد الطبقات الخفية وعدد الخلايا في الطبقات الخفية يوضحها الجدول رقم (5)، فمع زيادة عدد الطبقات الخفية من (7-4) ويقاء عدد الخلايا ثابت بعدد (5) خلايا في كل طبقة خفية حصل بطئ في التنفيذ من خلال زيادة عدد الدورات التدريبية الذي تراوح بين(20-24) دورة تدريبية ، وكذلك لوحظ ان هناك بطئ في

جدول رقم (4): عدد الدورات التدريبية للنماذج

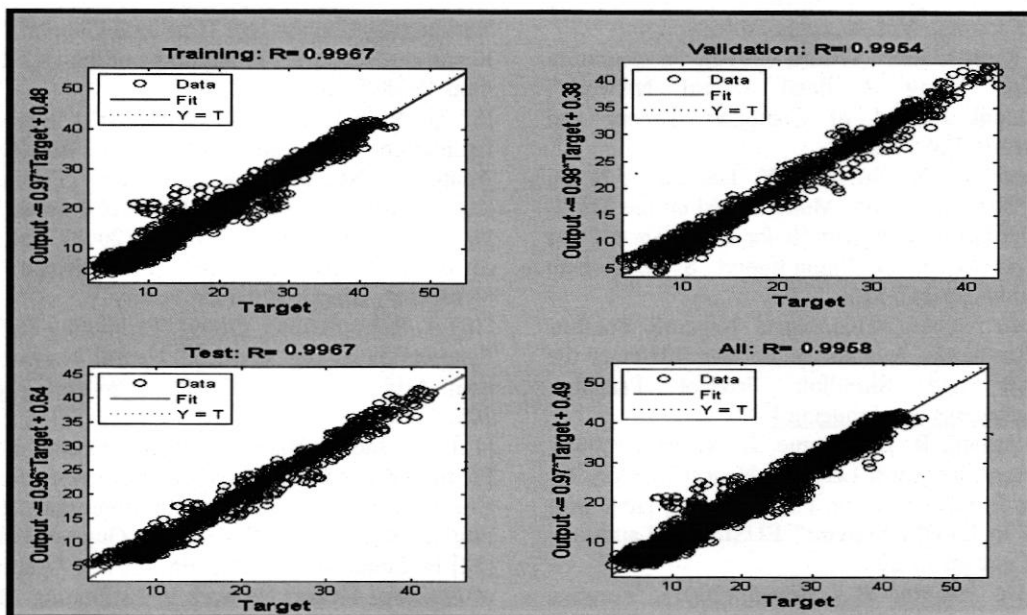
الشبكات العصبية				
NARX	CFBP	FFBP	الخوارزميات	
24	26	27	LM	معمارية (6-5-5-1)
27	29	30	BFGS	
32	34	37	CGF	
36	39	41	GD	
35	37	39	GDM	
16	18	20	LM	معمارية (6-5-5-1)
25	26	28	BFGS	
27	29	32	CGF	
33	35	38	GD	
31	32	35	GDM	



الشكل رقم (7): تسريع خوارزمية (LM) للنماذج ANN المقترنة

جدول رقم (5): نماذج الاختبار لشبكة NARX بخوارزمية LM

النماذج	عدد الطبقات الخفية	عدد الخلايا في كل طبقة خفية	معامل التحديد R^2	عدد الدورات التدريبية
1	4	5	0.994	20
2	5	5	0.996	25
3	6	5	0.997	26
4	7	5	0.995	32
5	4	7	0.993	26
6	5	7	0.997	29
7	6	7	0.998	35
8	7	7	0.996	42



الشكل رقم (8): التدريب والاختبار لشبكة NARX(6-5-5-1) بسرعة (16) دورة تدريبية

في الوقت والجهد والكلفة المادية يقيم تزيد او نقل عن قيمة واحدة لقيم التبخر اليومي المقاس، ولوحظ من خلال المقارنة بين نماذج الشبكات العصبية الاصطناعية الساكنة والдинاميكية بخوارزمياتها ان جميعها يمكن استخدامها لاغراض تنبؤية تعتمد على طبيعة البيانات، وان الشبكة الديناميكية (ARX) بخوارزمية LM تعطي افضل واسرع نموذج يمكن اعتماده لتقدير التبخر اليومي اذا ما توفرت العوامل المناخية درجة الحرارة العظمى والصغرى، الامطار، الرطوبة النسبية، سرعة الرياح والاشعاع الشمسي لاي يوم من ايام السنة.

5- الاستنتاجات

الشبكات العصبية الاصطناعية اثبتت نجاحها في عملية بناء نموذج لتقدير التبخر اليومي باستخدام درجة الحرارة العظمى والصغرى، الامطار، الرطوبة النسبية، سرعة الرياح والاشعاع الشمسي لاي يوم من ايام السنة. أعطت النتائج تقديرات ذات دقة عالية للتباخر اليومي حيث وصلت قيمة معامل التحديد فيها الى 0.99، جاءت هذه الدقة من القراءات الحقيقة للبيانات والتي استخدمت في عملية التدريب والاختبار، وهذه الدقة تكون مقبولة كديل عن القياسات الحقيقة المكملة

6- المصادر

- [2] الشلاوي سenos، (2011)، "مقارنة تطبيقات الشبكات العصبية الاصطناعية والنظام المضبب لتقدير التبخر الانئي اليومي لمدينة الموصل" مجلة الكوفة للرياضيات والحسابات ،المجلد 1، العدد 3،

- [1] العاني، افتخار، «الحسن، كامل.(2011) ، "تقدير التبخر -النتج المرجعي اليومي لمنطقة الموصل باستخدام الشبكات العصبية الاصطناعية".

- [15] C. Archana, (2010), "Reference Crop Evapotranspiration Estimation Using Artificial Neural Networks", International Journal of Engineering Science and Technology, Vol. 2(9), pp 4205-4212.
- [16] M.J. Diamantopoulou, P.E. Georgiou, (2011) "Performance Evaluation of Artificial Neural Networks in Estimating Reference Evapotranspiration with Minimal Meteorological Data", Global NEST Journal, Vol 13, No 1, PP 18-27.
- [17] S.A. Moasher, P. Afrasiab, S. Sarani, (2010), "Estimating of Reference Evapotranspiration by Using Artificial Neural Networks", ICCTECE.
- [18] V. Nourani, M.S. Fard, (2012)," Sensitivity Analysis of the Artificial Neural Network Outputs in Simulation of the Evaporation Process at Different Climatologic Regimes", Advances in Engineering Software Journal, Vol. 47,pp 127-146.
- [19] P. Kumar, A.K. Tiwari, (2010), "Evaporation Estimation Using Artificial Neural Network", International Journal of Computer Theory and Engineering, Vol.4 No. 1.
- [20] Haoffi Z., X. Guoping, Y. Fagting, Y.H an, (2007), "Neural Network Model Based on the Multi-Stage Optimization Approach for Short-Term Food Price Forecasting in China.Expert Systems with Applications,pp 347-356.
- [21] Math Works,(2010),Neural Network Toolbox 7.0, Math Works Announces Release 2010a of the MATLAB and Simulink Product Families, www.mathworks.com/trademarks.
- [22] R. Zayani, R. Bouallegue, D. Roviras, (2008), "Levenberg-Marquardt Learning Neural Network for Adaptive Predistortion for Time-Varying HPA with Memory In OFDM Systems" EUSIPCO, Lausanne, Switzerl and pp 25-29 .
- [23] O. De. Jesusand M.T. Hagan, (2001), "Forward Perturbation Algorithm for a General Class of Recurrent Network," in Proc. of the International Joint Conference on Neural Networks, Washington, DC, vol.4, pp.2626–2631.
- [24] O. De Jesus, J.M. Horn, and M.T. Hagan, (2001), "Analysis of Recurrent Network Training and Suggestions for Improvements," in Proc. of the International Joint Conference on Neural Networks, Washington, DC,vol.4,pp.2632–2637.
- [3] S.A. Kalogirou, (2003)"Artificial intelligence for the modeling and control of combustion processes: a review". Progress in Energy and Combustion Science, vol. 29,Issue 6,pp 515–566.
- [4] O. De Jesus and M.T. Hagan, (2007), "Backpropagation Algorithms for a Broad Class of Dynamic Networks," IEEE Transactions on Neural Networks,vol.18,no.1,pp.14 -27.
- [5] H. Beigy and M. R Meybodi,(2009)."A learning Automata-Based Algorithm for Determination of the Number of Hidden Units for Three-layer Neural Networks, "International Journal of Systems Science, vol. 40,no.1, pp.101–118.
- [6] L.R. Medsker, L.C. Jain,(2000)."Recurrent neural networks: design and applications". Boca Raton, FL: CRC Press.
- [7] De Jesús O., M.T. Hagan, (2001)," Backpropagation through Time for a General Class of Recurrent Network". Proceedings of the IJCNN, Vol. 4,pp 2638-2643.
- [8] D. Kumar, A.K. Tiwari, (2012),"Evaporation Estimation Using Artificial Neural Network and Adaptive Neuro-Fuzzy Interface Techniques", Pakistan Journal of Meteorology Vol.8 ,Issue 16.
- [9] A. Ariapour, M.N. Zavareh, (2008),"Estimation of Daily Evaporation Using of Artificial Neural Networks", Islamic Azad University.
- [10] A. Rahimikhoob, (2009),"Estimating Daily Pan Evaporation Using Artificial Neural Network in a Semi-Arid Environment", Springer-Verlag pp101-105.
- [11] V. Jadeja,(2011),"Artificial Neural Network Estimation of Reference Evapotranspiration from Pan Evaporation in a Semiari Environment", B.V.M. Engineering College, V.V. Nagar, Gujarat, India.
- [12] H. Jahanbani, A. Hussein, (2010), "Application of Artificial Neural Network in Estimating Monthly Time Series Reference Evapotranspiration with Minimum and Maximum Temperatures",Vol. 9,pp 207-220.
- [13] Tabari, S. Marofi, A. Sabziparvar, (2009)," Estimation of Daily pan Evaporation Using Artificial Neural Network and Multivariate Non-Linear Regression".pp 399-406 .
- [14] C. Ozkan, O. Kisi, B. Akay, (2010), "Neural Network with Artificial Bee Colony Algorithm for Modeling Daily Reference Evapotranspiration" pp 431-441.

Using nonlinear autoregressive neural network for estimation daily evaporation: a comparison of neural networks with different algorithms

Shahla A. AbdAlKader, Najem A. AbdulKader, Kifaa H. Thanoon
Dept. of Computer System Technical Institute Mosul , Iraq

Abstract

In this research a model of Dynamic NN(NARX) was applied to estimate the daily Evaporation of Mosul city using certain climate parameters(the maximum and the minimum temperature ,rain ,relative humidity ,wind speed and the sun shine)for any day in the year , and comparison for Static NN like FFBPNN, CFBPNN . Each of these networks has two architecture: an architecture with four layers and five cells in hidden layers from one hand, and an architecture with five layers and five cells in the hidden layers from the other.

Different algorithm were used for the training like: Levenberg-Marquardt algorithm (LM), Quasi-Newton algorithm (BFGS), Conjugate Gradient algorithm (CFG), Gradient Descent algorithm (GD) and Gradient Descent with Momentum algorithm (GDM). Data was obtained from the forecast Directorate in AlRashedeyyah district in Nineveh Province for the period (1995-2008) and used in the research. Data of ten years for the period (1995-2004)was employed to develop the models and the data of four years was used to evaluate the models and to compare their outputs with the data measured for the period(2005-2008). Moreover; determination coefficient R_square (R^2) and the Root Mean Square Error (RMSE) methods were used to estimate the level of correspondence for the measured data and NN outputs to select the best prediction model from the models applied.

Results showed that the NARX with(LM) algorithm is efficient in improving a prediction model to estimate the daily Evaporation as the value of coefficient estimation was 0.99, and this is considered the best and the fastest algorithm if temperature, rain, relative humidity ,wind speed and sunshine data available for any day in the year.

Keywords: Dynamic NN, Static NN, Gradient Descent, Gradient Descent with Momentum, Conjugate Gradient, Quasi - Newton,Levenberg - Marquardt .